

УДК 620.163.4

## ПРОГНОЗИРОВАНИЕ УДАРНОЙ ВЯЗКОСТИ СТАЛЕЙ В ИНТЕРВАЛЕ ПЕРЕХОДНЫХ ТЕМПЕРАТУР

© А. А. Барон<sup>1</sup>, С. А. Кунавин<sup>2</sup>*Статья поступила 5 ноября 2014 г.*

Предложена методика ускоренной оценки ударной вязкости  $KCV$  сталей в интервале температур вязкохрупкого перехода. Получена обобщенная диаграмма ударной вязкости сталей. Для области температур 77 – 473 К установлена единая линейная зависимость  $\frac{KCV_T}{KCV_{\text{пп}}} = f\left(\frac{KCV_T HB_{\text{пп}}}{KCV_{\text{пп}} HB_T}\right)$ , где

индексы « $T$ » и « $\text{пп}$ » означают соответственно температуру, для которой нужно оценить ударную вязкость, и температуру окончания действия механизма пластической деформации Пайерлса – Набарро. Разработана методика прогнозирования ударной вязкости с помощью указанной диаграммы. Методика позволила уменьшить объем необходимых испытаний, а также получить информацию, недоступную ранее из-за ограниченного объема материала.

**Ключевые слова:** ударная вязкость; твердость по Бринеллю; вязко-хрупкий переход.

Благодаря простоте определения ударная вязкость входит в число важнейших приемосдаточных характеристик и регламентирована множеством отечественных и зарубежных государственных стандартов на различные виды металлопродукции. Известно много работ [1 – 5], посвященных установлению корреляционных зависимостей между ударной вязкостью  $KCV$  и трещиностойкостью  $K_{Ic}$ . Это объясняется тем, что во-первых, затраты на определение ударной вязкости меньше, чем стоимость испытаний на вязкость разрушения, во-вторых, очень часто определить трещиностойкость не представляется возможным вследствие ограниченного объема металла. Последнее особенно актуально для магистральных нефте- и газопроводов, длительное время находящихся в эксплуатации, а также для оценки влияния радиации на материалы, используемые в атомных энергетических установках. Размеры камер для облучения весьма невелики, что исключает исследования натурных образцов. Типичным подходом в таких случаях является оценка трещиностойкости по ударной вязкости на образцах Шарпи с целью дальнейшего построения мастер-кривых [1 – 5].

Для построения серийных кривых ударной вязкости в необходимом температурном диапазоне требуются десятки образцов Шарпи. Кроме того, многообразие факторов, влияющих на вид серийных кривых  $KCV(T)$ , делает задачу прогнозирования ударной вязкости крайне сложной.

Данная статья посвящена проблеме прогнозирования ударной вязкости в интервале критических температур хрупкости. Получены общие закономерности, позволяющие существенно уменьшить объем и снизить трудоемкость испытаний.

Исследовали соотношения между ударной вязкостью  $KCV$  и твердостью  $HB$  (по Бринеллю) для сталей различных классов: трубных сталей контролируемой прокатки — 10Г2ФБ и 10Г2ФБ-У; горячекатанных 17Г1С-У, 17ГС и Вст3кп; нормализованных 10ХГНМАЮ, 06Г2НАБ; жаропрочной ферритно-марテンситной стали ФМ с содержанием феррита 10 – 12 % (типа ЭП823). Химический состав сталей приведен в таблице.

Ударную вязкость определяли по ГОСТ 9454–78 на образцах типа 11 с V-образным надрезом. Испытания жаропрочной ферритно-мартенситной стали ФМ выполняли в Государственном научном центре НПО «ЦНИИТМАШ», а остальных сталей — в Институте проблем прочности НАН Украины (г. Киев) [6]. Твердость  $HB$  измеряли в Волгоградском государственном техническом университете в соответствии с ГОСТ 9012–59. Техника этих экспериментов подробно описана в работе [7].

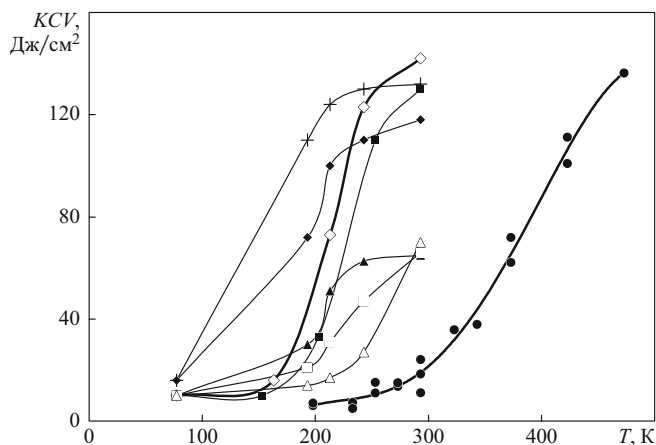
Температурные зависимости ударной вязкости исследованных сталей приведены на рис. 1. В зависимости от особенностей микроструктуры и химического состава форма и положение серийной кривой каждой стали относительно оси температур имели свои особенности.

На зависимостях твердости большинства трубных сталей от температуры (рис. 2) приблизительно при 243 К хорошо видны перегибы. Аналогичные особенности у исследованных трубных сталей наблюдаются и на температурных зависимостях предела текучести  $\sigma_{0,2}(T)$  [6, 10]. У жаропрочной ферритно-мартенситной стали ФМ перегиб на зависимости  $HB(T)$  имеется примерно при 473 К.

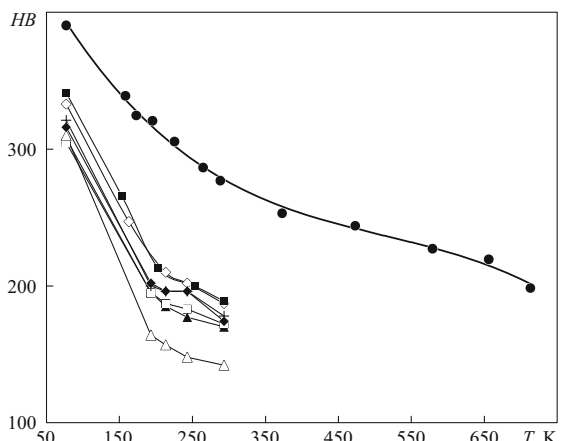
Это находится в соответствии с известными данными о последовательно-волнообразной зависимости деформирующего напряжения от температуры [8 – 11]. Для каждой волны характерен свой специфи-

<sup>1</sup> Волгоградский государственный технический университет, г. Волгоград, Россия; e-mail detmash@vstu.ru

<sup>2</sup> ГНЦ ОАО НПО «ЦНИИТМАШ», Москва, Россия.

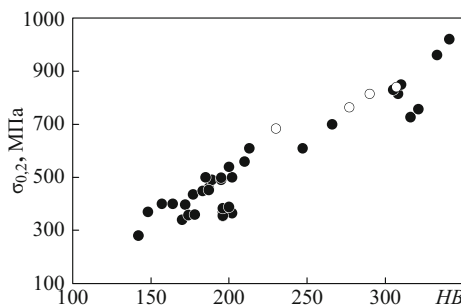


**Рис. 1.** Температурные зависимости ударной вязкости исследованных сталей: ◊ — 10Г2ФБ; ■ — 10Г2ФБ-У; ▲ — 17Г1С-У; □ — 17ГС; △ — Вст3кп; ◆ — 10ХГНМАЮ; + — 06Г2НАБ; ● — ферритно-маргентитная сталь ФМ



**Рис. 2.** Зависимость твердости исследованных сталей от температуры (обозначения те же, что на рис. 1)

ческий механизм, контролирующий пластическую деформацию. Самой первой (низкотемпературной) волне у металлов и сплавов с ОЦК-решеткой соответствует пластическая деформация по механизму



**Рис. 3.** Соотношение между пределом текучести и твердостью при температурах  $77 \leq T \leq 713$  К: ○ — ферритно-маргентитная сталь ФМ; ● — все остальные стали

Пайерлса – Набарро [9]. Температура перегиба  $T_p$ , при которой происходит замена этого механизма другим, обусловлена особенностями микроструктуры и химического состава. Обращает на себя внимание то обстоятельство, что температура перегиба  $T_p$  у большинства исследованных сталей примерно соответствует началу верхнего горизонтального плато на сериальных кривых  $KCV$ .

Соотношение между твердостью и условным пределом текучести  $\sigma_{0,2}$  при  $77 \leq T \leq 713$  К представлено на рис. 3. Видно, что зависимость  $\sigma_{0,2}(HB)$  в указанном интервале температур можно аппроксимировать прямой линией.

Как следует из рис. 4, при одинаковой твердости  $HB$  180 (из рис. 2 видно, что эта твердость у исследованных сталей наблюдается при разных температурах) ударная вязкость рассмотренных сталей может отличаться примерно в десять раз (от 15 Дж/см<sup>2</sup> у стали Вст3кп до 140 Дж/см<sup>2</sup> у 10Г2ФБ). Это обусловлено различиями в микроструктуре и химическом составе исследованных сталей.

Данные рис. 4 представлены на рис. 5 в виде зависимостей  $KCV = f(KCV/HB)$ . Чтобы построить эти линейные зависимости, достаточно двух точек. На практике для этого следует экспериментально установить зависимость  $HB = f(T)$  и найти значения  $KCV$ , а также  $KCV/HB$  вблизи температур верхнего и ниж-

#### Химический состав исследованных сталей, % масс.

Элемент	10Г2ФБ	10Г2ФБ-У	17Г1С-У	17ГС	Вст3кп	10ХГНМАЮ	06Г2НАБ	ФМ
C	0,10	0,10	0,16	0,15	0,17	0,12	0,08	0,14
Mn	1,60	1,55	1,39	1,31	0,59	1,20	1,50	0,63
Si	0,33	0,33	0,51	0,51	0,22	0,26	0,25	1,17
S	0,004	0,004	0,018	0,016	0,025	0,01	0,01	—
P	0,020	0,020	0,015	0,017	0,016	0,01	0,02	—
Cr	—	—	0,02	—	—	0,04	—	11,1
Al	—	—	0,042	—	—	0,13	0,03	—
Ti	0,021	0,020	0,064	—	—	—	—	—
As	—	—	0,010	0,004	0,002	—	—	—
V	0,097	0,096	—	—	—	—	—	0,34
Nb	0,025	0,025	—	—	—	—	0,15	0,24
Mo	—	—	—	—	—	0,30	—	0,74
Ni	—	—	—	—	—	1,30	0,70	0,72

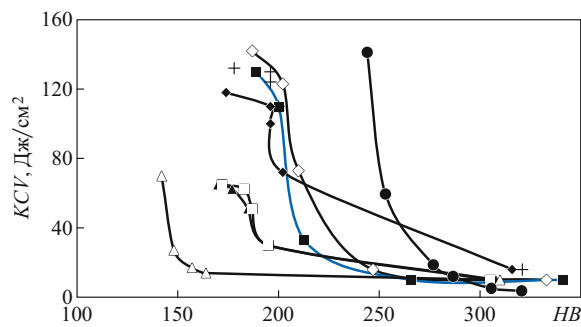


Рис. 4. Связь между ударной вязкостью  $KCV$  и твердостью  $HB$  в интервале температур  $77 \leq T \leq 473$  К (обозначения те же, что на рис. 1)

него порогов хладноломкости. После этого можно определить значения  $KCV$  при любой температуре между этими порогами, поскольку зависимость  $HB = f(T)$  уже известна. Хотя описанная методика существенно упрощает получение серийных кривых ударной вязкости, она не является обобщенной, так как зависимости  $KCV = f(KCV/HB)$  у разных сталей не совпадают между собой.

Физический смысл отношения  $KCV/HB$  попытаемся пояснить путем следующих рассуждений. Ударная вязкость  $KCV$  коррелирует с вязкостью разрушения  $K_{Ic}$ , а твердость  $HB$  — с пределом текучести  $\sigma_{0,2}$  (см. рис. 3). Поэтому отношение  $KCV/HB$  по смыслу напоминает параметр  $K_{Ic}/\sigma_{0,2}$ , характеризующий протяженность зоны ограниченной пластичности перед вершиной трещины. Следовательно, величина  $KCV/HB$  характеризует деформированный объем.

*Обобщенная методика прогнозирования ударной вязкости.* Предлагаемая методика основана на следующих трех экспериментально проверенных положениях (справедливых, по крайней мере, для исследованных сталей):

интервалу переходных температур ударной вязкости соответствует низкотемпературная волна зависимости  $HB(T)$ , где пластическая деформация контролируется механизмом Пайерлса – Набарро, причем верхняя граница (порог)  $T_n$  интервала переходных температур соответствует концу этой волны (перегибу) зависимости  $HB(T)$ ;

прогнозирование ударной вязкости во всем интервале переходных температур возможно, если известны два параметра, из которых один — твердость  $HB$  или предел текучести  $\sigma_{0,2}$ , а второй — ударная вязкость  $KCV_n$  при температуре  $T_n$ ;

отношение любой ударной вязкости  $KCV_T$  внутри интервала переходных температур к ударной вязкости  $KCV_n$  при температуре  $T_n$  ( $KCV_T/KCV_n$ ) пропорционально отношению соответствующих деформированных объемов, которое удобно характеризовать выражением  $(KCV_T HB_n)/(KCV_n HB_T)$ .

На рис. 6 представлена обобщенная диаграмма ударной вязкости трубных сталей. При расчетах зна-

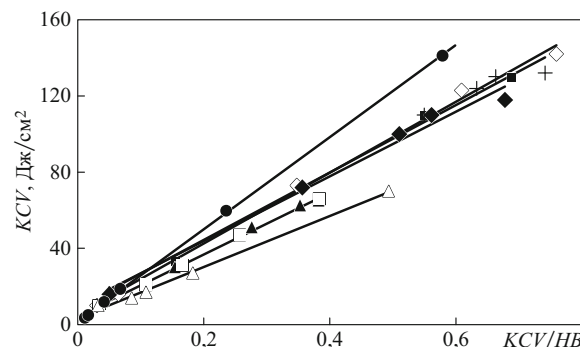


Рис. 5. Зависимости  $KCV = f(KCV/HB)$  в интервале вязкоупругого перехода (обозначения те же, что на рис. 1)

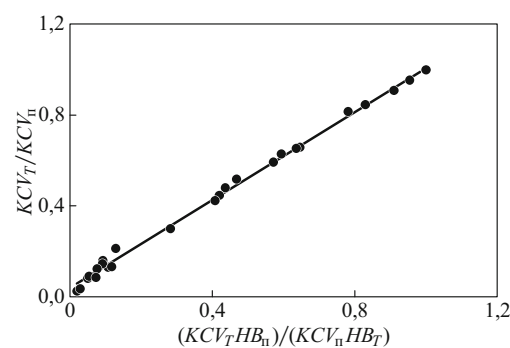


Рис. 6. Обобщенная диаграмма ударной вязкости  $KCV$  трубных сталей

чение температуры перегиба зависимости  $HB(T)$  принималось равным 243 К для трубных сталей и 473 К для жаропрочной ферритно-маргентитной стали. Уравнение обобщенной зависимости, представленной на рис. 6, имеет вид

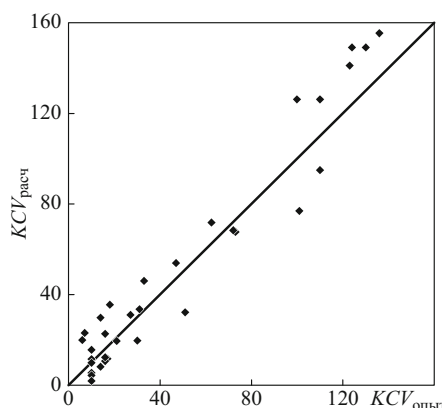
$$\frac{KCV_T}{KCV_n} = 0,9661 \frac{KCV_T HB_n}{KCV_n HB_T} + 0,0389. \quad (1)$$

Коэффициент корреляции составляет 0,999.

Представленные результаты позволяют предложить следующую методику оценки ударной вязкости. Сначала получают зависимость  $HB(T)$ . Затем визуально или расчетом, приравнивая к нулю вторую производную аппроксимирующей функции  $HB(T)$ , определяют температуру  $T_n$ , соответствующую положению точки перегиба кривой, и отвечающую ей твердость  $HB_n$ . После этого находят  $KCV_n$  при температуре  $T_n$ . Далее вычисляют отношения  $HB_n/HB_T$  при любой температуре из исследованного диапазона и рассчитывают

$$KCV_T = \frac{0,0389 KCV_n}{1 - 0,9661 HB_n / HB_T}. \quad (2)$$

На рис. 7 представлены результаты экспериментальной проверки предложенного подхода. Как видно, точки удовлетворительно располагаются вдоль линии,



**Рис. 7.** Результаты экспериментальной проверки разработанного метода

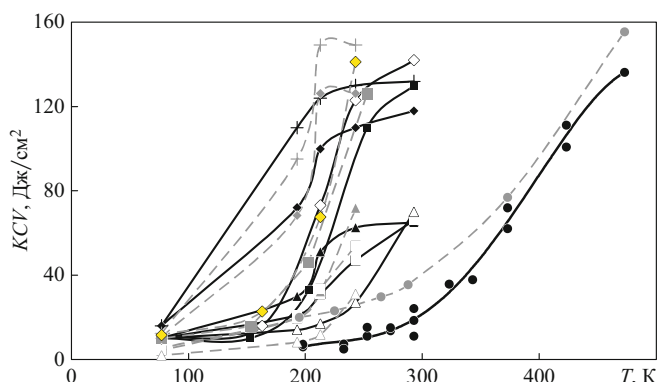
составляющей  $45^\circ$  с координатными осями, что свидетельствует о достоверности метода.

Из сопоставления экспериментальных и расчетных серийных кривых  $KCV(T)$  (рис. 8) можно сделать вывод, что предлагаемая методика демонстрирует достаточно адекватный прогноз ударной вязкости в интервале переходных температур.

В заключение следует отметить, что мониторинг состояния металла объектов повышенной опасности, находящихся в эксплуатации, представляет собой весьма актуальную задачу. Этот процесс нередко бывает сопряжен с выводом объектов из эксплуатации, что обусловлено вырезкой значительного количества образцов и их последующими испытаниями. Полученные в данной работе новые соотношения между ударной вязкостью  $KCV$  и твердостью  $HB$  в интервале критических температур хрупкости позволили предложить универсальную обобщенную методику прогнозирования ударной вязкости. Это дало возможность уменьшить объем необходимых испытаний без значительного ущерба для их достоверности, а в ряде случаев — получить информацию, недоступную ранее из-за ограниченного объема материала.

## ЛИТЕРАТУРА

1. The Use of Small-Scale Specimens for Testing Irradiated Material: ASTM STP 888, 1986. — 379 p.
2. Small Specimen Test Techniques Applied to Nuclear Reactor Vessel Thermal Annealing and Plant Life Extension: ASTM STP 1204, 1993. — 462 p.
3. Small Specimen Test Techniques: ASTM STP 1329, 1998. — 626 p.
4. Small Specimen Test Techniques. Vol. 4. ASTM STP 1418, 2002. — 495 p.
5. Small Specimen Test Techniques: Vol. 5. ASTM STP 1502-2009. — 267 p.
6. **Красовский А. Я., Красико В. Н.** Трещиностойкость сталей магистральных трубопроводов. — Киев: Наукова думка, 1990. — 176 с.
7. **Baron A. A.** A Thermodynamic Model For Fracture Toughness Prediction / Eng. Fract. Mech. 1993. Vol. 46. N 2. P. 245 – 251.
8. **Frost H. J., Ashby M. F.** Deformation-Mechanism Maps. — Chelyabinsk: Metallurgiya, 1989. — 328 p. [Russian translation].
9. **Borisenko V. A.** Tverdost' i prochnost' tugoplavkikh materialov pri vysokikh temperaturakh [Hardness and strength of high-melting materials at the high temperatures]. — Kiev: Naukova Dumka, 1984. — 212 p. [in Russian]
10. **Baron A. A.** The Generalized Diagram of Fracture Toughness for Pipeline Steels / Int. J. Press. Vessels Pip. 2012. N 98. P. 26 – 29.
11. **Baron A. A., Sliusareva O. F.** Diagramma treshchinostoinosti trubnykh stalei [The fracture toughness diagram for pipeline steels] / Izv. VolgGTU. Ser. Probl. Materialoved. Svarki Prochn. Mashinostr. Issue 6: Mezhvuz. Sb. Nauch. St. 2012. N 9(96). P. 117 – 120 [in Russian].



**Рис. 8.** Экспериментальные (черные символы, сплошные линии) и расчетные (серые символы, пунктирные линии) серийные кривые (обозначения те же, что на рис. 1)

8. **Фрост Г. Дж., Эшби М. Ф.** Карты механизмов деформации. — Челябинск: Металлургия, 1989. — 328 с.
9. **Борисенко В. А.** Твердость и прочность тугоплавких материалов при высоких температурах. — Киев: Наукова думка, 1984. — 212 с.
10. **Baron A. A.** The Generalized Diagram of Fracture Toughness for Pipeline Steels / Int. J. Press. Vessels Pip. 2012. N 98. P. 26 – 29.
11. **Барон А. А., Слюсарева О. Ф.** Диаграмма трещиностойкости трубных сталей / Изв. ВолгГТУ. Серия «Проблемы материаловедения, сварки и прочности в машиностроении». Вып. 6: межвуз. сб. науч. ст. 2012. № 9(96). С. 117 – 120.

## REFERENCES

1. The Use of Small-Scale Specimens for Testing Irradiated Material: ASTM STP 888, 1986. — 379 p.
2. Small Specimen Test Techniques Applied to Nuclear Reactor Vessel Thermal Annealing and Plant Life Extension: ASTM STP 1204, 1993. — 462 p.
3. Small Specimen Test Techniques: ASTM STP 1329, 1998. — 626 p.
4. Small Specimen Test Techniques. Vol. 4. ASTM STP 1418, 2002. — 495 p.
5. Small Specimen Test Techniques: Vol. 5. ASTM STP 1502, 2009. — 267 p.
6. **Krasovsky A. Ya., Krasiko V. N.** Treshchinostoiost' stalei magistral'nykh truboprovodov [Fracture toughness of the main pipeline steels]. — Kiev: Naukova Dumka, 1990. — 176 p. [in Russian].
7. **Baron A. A.** A Thermodynamic Model For Fracture Toughness Prediction / Eng. Fract. Mech. 1993. Vol. 46. N 2. P. 245 – 251.
8. **Frost H. J., Ashby M. F.** Deformation-Mechanism Maps. — Chelyabinsk: Metallurgiya, 1989. — 328 p. [Russian translation].
9. **Borisenko V. A.** Tverdost' i prochnost' tugoplavkikh materialov pri vysokikh temperaturakh [Hardness and strength of high-melting materials at the high temperatures]. — Kiev: Naukova Dumka, 1984. — 212 p. [in Russian]
10. **Baron A. A.** The Generalized Diagram of Fracture Toughness for Pipeline Steels / Int. J. Press. Vessels Pip. 2012. N 98. P. 26 – 29.
11. **Baron A. A., Sliusareva O. F.** Diagramma treshchinostoinosti trubnykh stalei [The fracture toughness diagram for pipeline steels] / Izv. VolgGTU. Ser. Probl. Materialoved. Svarki Prochn. Mashinostr. Issue 6: Mezhvuz. Sb. Nauch. St. 2012. N 9(96). P. 117 – 120 [in Russian].